

ПОКАЗАТЕЛЬ ПРЕЛОМЛЕНИЯ  $Pb_{1-x}Sn_xSe$  ( $x = 0 - 0,05$ )

К. В. Вяткин, А. П. Шотов

УДК 537.3II.33; 621.375.826

По положению интерференционных максимумов в спектрах пропускания тонких эпитаксиальных пленок  $Pb_{1-x}Sn_xSe$  ( $x = 0 - 0,05$ ) измерен показатель преломления в области длин волн от 5 до 14 мкм при 80 и 300 К. Оценена величина его скачка на границе активного слоя в гетеролазере и в лазере с градиентом концентрации носителей. Вычислена скорость плавной температурной перестройки мод лазера.

Измерение величины показателя преломления полупроводников  $Pb_{1-x}Sn_xSe$  представляет большой интерес, в частности, в связи с их применением для изготовления инъекционных лазеров /1-4/. Величина показателя преломления  $n$  и зависимость его от длины волны, концентрации носителей, состава полупроводника  $x$  необходимы для оценки скачка показателя преломления  $\Delta n$  на границе активного и пассивного слоев в лазерных структурах. Особый интерес представляет нелинейный участок дисперсии  $n(\lambda)$  вблизи длины волны  $\lambda_g$ , соответствующей ширине запрещенной зоны, так как им определяется расстояние между модами генерируемого лазером излучения.

Условие возбуждений продольных типов колебаний в инъекционном лазере с резонатором типа Фабри-Перо выражается известной формулой

$$2nL = m\lambda_m, \quad (I)$$

где  $L$  — длина резонатора,  $\lambda_m$  — длина волны излучения  $m$ -ой моды, а расстояние между двумя соседними модами равно

$$\Delta\lambda = \lambda_{m+1} - \lambda_m = \lambda^2 / 2 \ln n^*;$$

где  $n^* = n - (dn/d\lambda)\lambda$  — эффективный показатель преломления. По модовой структуре лазера можно определить эффективный показатель преломления  $n^*$  на длине волны излучения, однако для характеристики активного слоя необходимо знать из независимых измерений величину  $n(\lambda)$ .

В данной работе показатель преломления определялся по положению интерференционных максимумов в спектрах пропускания тонких эпитаксиальных пленок  $\text{Pb}_{1-x}\text{Sn}_x\text{Se}$  в области длин волн от 5 до 14 мкм при температуре 80 и 300 К. Метод определения  $n(\lambda)$  из спектров пропускания был описан ранее /5/. По наклону дисперсионной кривой  $n(\lambda)$  вблизи  $\lambda_g$  находились величина  $dn/d\lambda$  и эффективный показатель преломления.

Эпитаксиальные пленки  $\text{Pb}_{1-x}\text{Sn}_x\text{Se}$  ( $x = 0$ ;  $x = 0,05$ ) толщиной  $2 \pm 8$  мкм были выращены методом "горячей стеки" /6,7/ на подложках из  $\text{BaF}_2$  и имели высокую подвижность  $\mu_{77K} = (1 \div 3) \cdot 10^4 \text{ см}^2/\text{В} \cdot \text{с}$  при концентрации носителей  $N = 2 \cdot 10^{17} \div 2 \cdot 10^{18} \text{ см}^{-3}$ .

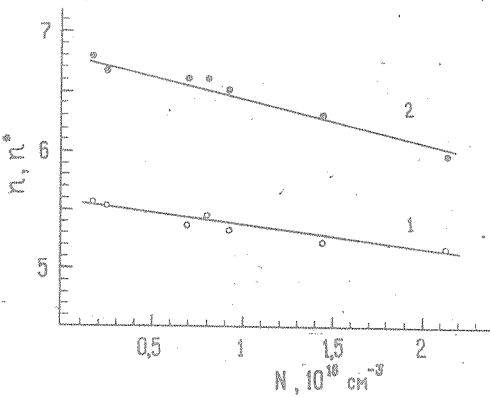


Рис. I. Зависимость показателя преломления (1) и эффективного показателя преломления (2)  $\text{PbSe}$  от концентрации носителей заряда при 80 К на длине волны 7,2 мкм.

На рис. I представлена зависимость  $n$  и  $n^*$  от концентрации носителей для PbSe при 80 К для длины волны, соответствующей ширине запрещенной зоны PbSe. Эффективный показатель преломления  $n^*$  достигает значений  $6 \pm 6,8$  и существенно превосходит  $n$ , вследствие сильной дисперсии вблизи края собственного поглощения.

Показатель преломления  $n$  растет с уменьшением концентрации носителей заряда. Это позволяет реализовать оптическое ограничение в лазерных гомоструктурах с резким градиентом концентрации носителей заряда. Так, например, на границе двух слоев PbSe с концентрациями носителей  $2 \cdot 10^{18}$  и  $5 \cdot 10^{17} \text{ см}^{-3}$  скачок показателя преломления составляет 0,2 т.е.  $\sim 4\%$ .

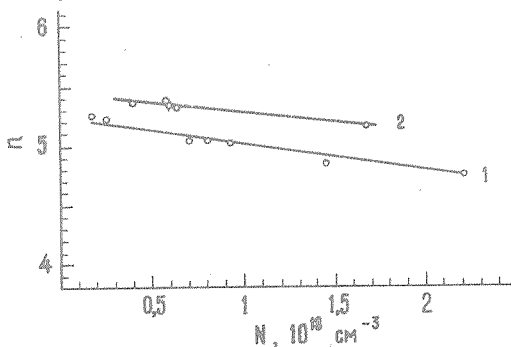


Рис. 2. Зависимость показателя преломления от концентрации носителей при 80 К на длине волны 10,8 мкм для PbSe (1) и  $Pb_{0.95}Sn_{0.05}Se$  (2)

Полученные данные позволяют также оценить скачок показателя преломления на гетерогранице. На рис. 2 представлена зависимость показателя преломления от концентрации носителей для PbSe и  $Pb_{0.95}Sn_{0.05}Se$  при 80 К на длине волны, соответствующей ширине запрещенной зоны. Скачок показателя преломления на гетерогранице зависит от концентрации носителей в обоих полупроводниках. В случае, когда концентрации носителей в активном узковолновом слое меньше или равна концентрации носителей в пассивном широковолновом слое, скачок показателя преломления может

составлять от 0,2 (оба слоя с малой концентрацией  $\sim 5 \cdot 10^{17} \text{ см}^{-3}$ ) до 0,5 (узкозонный слой с малой концентрацией, а пассивный слой с  $N \approx 2 \cdot 10^{18} \text{ см}^{-3}$ ).

Таким образом, в лазерах на основе полупроводников  $\text{Pb}_{1-x}\text{Sn}_x\text{Se}$  реализуется эффективное оптическое ограничение как в гетероструктурах, так и в структурах со скачком концентрации носителей. В обоих случаях  $\Delta v$  значительно превосходит скачок показателя преломления в диффузионных гомолазерах, составляющий приблизительно 0,02%.

Если считать, что  $v$  линейно зависит от температуры в области от 80 до 300 К, то можно оценить скорость перестройки частоты излучения  $\Delta v_m$  отдельных мод лазера (плавной перестройки) при изменении температуры. Для перестройки отдельных мод лазера при изменении температуры имеем из (1)

$$\frac{dv_m}{dT} = -\frac{\lambda_m}{n} \left[ \frac{dn}{dT} + n \frac{1}{L} \frac{dL}{dT} \right]. \quad (2)$$

Из оптических измерений для  $\text{Pb}_{0,95}\text{Sn}_{0,05}\text{Se}$   $dn/dT \approx -1 \cdot 10^{-3} \text{ K}^{-1}$ . Второе слагаемое в скобках, связанное с изменением оптической длины резонатора из-за теплового расширения материала, на порядок меньше первого (коэффициент теплового расширения  $\alpha = (1/L)(dL/dT) \approx 2 \cdot 10^{-5} \text{ K}^{-1}$ ). Тогда при 80 К получим

$$\frac{dv_m}{dT} \approx 0,2 \text{ см}^{-1} \text{ K}^{-1}.$$

Скорость грубой перестройки частоты излучения лазера с температурой определяется изменением ширины запрещенной зоны

$$\frac{dv}{dT} = \frac{10^4}{1,24} \frac{dn}{dT}$$

и составляет  $\approx 4 \text{ см}^{-1} \text{ K}^{-1}$  для  $\text{Pb}_{0,95}\text{Sn}_{0,05}\text{Se}$ , если считать, что  $dn/dT \approx 5 \cdot 10^{-4} \text{ эВ/К}$ . Таким образом, скорость грубой перестройки значительно превышает скорость перестройки отдельной моды. Этим объясняется сравнительно узкий диапазон перестройки отдельных мод лазера ( $I \approx 2 \text{ см}^{-1}$ ) и переход генерации с ростом температуры на более коротковолновые моды.

Представляет интерес сравнить величину скорости плавной токовой перестройки лазерных мод, рассчитанную по данным оптических измерений, с реально наблюдавшейся скоростью перестройки частоты генерации инжекционных лазеров на основе  $\text{Fe}_{1-x}\text{Sn}_x\text{Se}$ . Измеренная в работе /4/ скорость токовой перестройки мод лазера на основе двойной гетероструктуры, работавшего в непрерывном режиме, составляла при  $78 \text{ K}$   $2 \pm 5 \text{ cm}^{-1}\text{A}^{-1}$ . Основной причиной изменения частоты генерации при изменении тока инжеции является разогрев активного слоя. Используя величину скорости изменения температуры активного слоя с током  $dT/dJ \approx 10 \text{ K/A}$ , определенную по средней скорости грубой перестройки лазера, находим

$$\frac{d\nu_m}{dT} = \frac{d\nu_m}{dJ} \left( \frac{dT}{dJ} \right)^{-1} = 0,2 \div 0,5 \text{ cm}^{-1}\text{K}^{-1},$$

что согласуется с определенной из оптических измерений скоростью непрерывной перестройки частоты излучения отдельных мод лазера.

В заключение авторы выражают благодарность Б. М. Вулду за внимание к работе, а также Е. Г. Чижевскому за помощь в изготовлении образцов.

Поступила в редакцию  
21 января 1982 г.

### Л и т е р а т у р а

1. H. Preier, Appl. Phys., 20, 189 (1979).
2. А. П. Шотов, О. И. Даварашвили, А. В. Бабушкин, Письма в ЖТФ, 5, 1488 (1979).
3. А. П. Шотов, К. В. Вяткин, А. А. Синятынский, Письма в ЖТФ, 6, 983 (1980).
4. А. П. Шотов, К. В. Вяткин, Письма в ЖТФ, 6, 1199 (1980).
5. К. В. Вяткин, А. П. Шотов, ФТП, 14, 1331 (1980).
6. A. Lopez-Otero, Thin Solid Films, 49, 1 (1978).
7. К. В. Вяткин, А. П. Шотов, В. В. Урсаки, Изв. АН СССР, Неорг. материалы, 17, 24 (1981).